

$\div 2,0)R_2$ в зависимости от радиуса R_1 на входе. При течении вязкоупругих жидкостей длиной L будет размер участка релаксации нормальных напряжений. Для жидкостей, описываемых моделью Де Витта, с увеличением We наблюдается рост L на 10–15 % по сравнению с потоками ньютоновских жидкостей.

Длину участка ГДС можно оценить и по распределению давления в двухслойном потоке. На рис. 3 представлены кривые изменения давления на границе раздела ньютоновских жидкостей по длине канала в за-

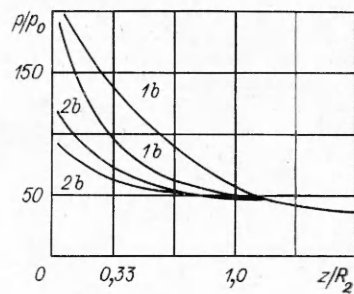


Рис. 3 (1b, 2b внизу следует читать 1a, 2a).

висимости от радиуса внутреннего канала R_1 . Здесь $Q^a = 60 \cdot 10^{-9} \text{ м}^3/\text{с}$, $Q^b = 30 \cdot 10^{-9} \text{ м}^3/\text{с}$, $\mu^a = 4000 \text{ Па}\cdot\text{с}$, $\mu^b = 2000 \text{ Па}\cdot\text{с}$. Кривые 1a, 1b соответствуют давлениям $p^a(R_z(z), z)$ и $p^b(R_z(z), z)$ при $R_1 = 0,4R_2$, а кривые 2a, 2b — давлениям при $R_1 = 0,65R_2$. Как и следует из граничных условий (1.7), в общем случае поле давлений разрывно на поверхности раздела. Но в области установившегося течения, когда линия поверхности раздела слоев параллельна оси z и нормальные напряжения в ньютоновских жидкостях нулевые, давления p^a, p^b на границе раздела равны. Из рис. 3 видно, что во втором случае, когда координаты $R_z(z)$ практически не меняются по длине канала (для данных отношений вязкостей и отношений расходов в установившемся течении $R_z = 0,67R_2$), участок ГДС имеет меньшие размеры, чем в первом. При этом величина перепада давления во втором случае также меньше, что связано с меньшими затратами энергии на перестройку профиля скорости двухслойного потока.

Таким образом, условия на входе в зону совместного течения во многом определяют характер двухслойного течения на начальном участке.

ЛИТЕРАТУРА

1. Хан Ч. Д. Реология в процессах переработки полимеров. — М.: Химия, 1979.
2. Первадчук В. П., Лялькина Г. Б., Казаченко Т. А. Стационарное двухслойное течение вязкоупругих расплавов полимеров в цилиндрическом канале // ИФЖ. — 1989. — Т. 56, № 1.
3. Давыдов А. Р., Первадчук В. П., Труфанова Н. М., Янков В. И. Исследование двухслойного течения расплавов полистирола и полиметилметакрилата в цилиндрическом канале при соэкструзии // Химические волокна. — 1989. — № 3.
4. Панов А. К., Дорохов И. Н. Многослойное течение расплавов полимеров в плоскощелевом канале // ДАН СССР. — 1985. — Т. 284, № 4.
5. Ануфриев В. А., Лукач Ю. Е., Петухов А. Д., Яхно Д. М. Экспериментальное исследование начального участка при двухслойном течении вязких жидкостей // Гидравлика и гидротехника. — Киев: Техника, 1977. — Вып. 24.
6. Подгаец Р. М. Конечно-элементный анализ многослойного течения несмешивающихся жидкостей // Краевые задачи. — Пермь: Изд-во Перм. политехн. ин-та, 1985.
7. Численные методы исследования течения вязкой жидкости / А. Д. Госмен, В. М. Пан, А. К. Ранчел и др. — М.: Мир, 1972.
8. Шкадов В. Я., Запрянов З. Д. Течения вязкой жидкости. — М.: Изд-во МГУ, 1984.
9. Самарский А. А., Моисеенко Б. Д. Экономическая схема сквозного счета для многомерной задачи Стефана // ЖВММФ. — 1965. — Т. 5, № 5.

г. Пермь, г. Тверь

Поступила 5/IV 1989 г.,
в окончательном варианте — 26/I 1990 г.

УДК 532.59

А. В. Марченко

О РЕЗОНАНСНОМ ВОЗБУЖДЕНИИ ВОЛН В ТЯЖЕЛОЙ ЖИДКОСТИ ПОД ВЯЗКОУПРУГОЙ ПЛАСТИНОЙ

В работе исследуются нелинейные взаимодействия волн в тяжелой жидкости конечной глубины, на поверхности которой плавает тонкая вязкоупругая пластина, моделирующая ледяной покров [1]. Источником возмущений в жидкости является переменное поле внешнего давления, перемещающееся по поверхности ледяного покрова.

Известно (см., например, [2, 3]), что в зависимости от скорости движения источника возбуждение волн с определенным волновым числом k_0 имеет резонансный характер. В связи с этим представляют интерес изучение резонансного возбуждения волн в жидкости полем внешнего давления, имеющим форму слабомодулированных волновых пакетов, спектр которых отличен от нуля в окрестности волновых чисел $k = mk_0$ ($m \in \mathbb{Z}$), и исследование влияния нелинейности задачи на ограничение амплитуды волн при резонансе.

Резонансное взаимодействие гармоник капиллярных волн на поверхности идеальной жидкости рассмотрено в [4—9]. В [10, 11] изучался процесс резонансного возбуждения волн в тяжелой жидкости со свободной поверхностью периодическим полем внешнего давления.

1. Потенциальные движения тяжелой несжимаемой жидкости с потенциалом скоростей φ в безразмерном виде описываются уравнением Лапласа $\Delta\varphi + \partial_{zz}\varphi = 0$ ($\Delta = \partial_{xx} + \partial_{yy}$) с граничным условием непротекания на дне $\partial_z\varphi = 0$, $z = -H$ и динамическим и кинематическим условиями на неизвестной поверхности $z = \varepsilon\eta$ [12]:

$$(1.1) \quad \begin{aligned} \partial_t\eta + \varepsilon\nabla\varphi^s\nabla\eta - \varphi_z^s(1 + \varepsilon^2(\nabla\eta)^2) &= 0, \\ \partial_t\varphi^s + (1/2)\varepsilon[(\nabla\varphi^s)^2 - (\varphi_z^s)^2(1 + \varepsilon^2(\nabla\eta)^2)] + p/\rho &= 0, \\ \nabla &= (\partial_x, \partial_y), \quad \varepsilon = a/\lambda \ll 1. \end{aligned}$$

Здесь φ^s , φ_z^s — значения φ и $\partial_z\varphi$ на поверхности $z = \varepsilon\eta$; p , ρ — давление и плотность жидкости; a , $2\pi\lambda$ — характерные амплитуда и длина волны. В качестве характерных значений потенциала φ , времени t , горизонтальных координат x , y и вертикальной координаты z взяты соответственно $a\sqrt{g\lambda}$, $\sqrt{\lambda/g}$, λ .

На поверхности жидкости плавает тонкая вязкоупругая пластина, моделирующая ледяной покров [1]. Давление в жидкости на подледной поверхности p связано с внешним давлением p_0 соотношением [1]

$$(1.2) \quad \begin{aligned} (p - p_0)/\rho &= \left(\sum_{\alpha, \beta} (\sigma_{\alpha\beta} - \mu_{\alpha\beta}\partial_t) \partial_{\alpha\beta} + D\Delta^2 \right) \eta = \tilde{L}\eta, \\ (\alpha, \beta) &= (x, y), \quad D = Eh^3/(12(1 - \nu^2)\rho g\lambda^4), \\ \sigma_{\alpha\beta} &= h\sigma'_{\alpha\beta}/(\rho g\lambda^2), \quad \mu_{\alpha\beta} = h\mu'_{\alpha\beta}/(\rho\lambda^2\sqrt{g\lambda}), \end{aligned}$$

где E , ν — модуль Юнга и коэффициент Пуассона пластины; $\mu'_{\alpha\beta}$ — коэффициенты вязкости пластины; $\sigma'_{\alpha\beta}$ — компоненты тензора напряжений, создаваемых в ледяном покрове внешними нагрузками (например, воздействием ветра); h — толщина пластины.

Для изучения процессов резонансного возбуждения волн полем внешнего давления, имеющим вид слабомодулированных волновых пакетов, представим p_0 в виде

$$p_0/\rho = \sum_{m=-\infty}^{\infty} p_m(X, Y, t) \exp i\theta_m, \quad \theta_m = mk_0x, \quad p_m = p_{-m}^*, \quad (X, Y) = (\varepsilon x, \varepsilon y)$$

(звездочка означает комплексное сопряжение).

Выражая решение уравнения Лапласа, удовлетворяющее граничному условию на дне, через интеграл Фурье и полагая в нем $z = 0$, находим

$$(1.3) \quad (\varphi^0, \varphi_z^0) = \int_{-\infty}^{\infty} A(\mathbf{k}, t)(1, s) \exp i\theta d\mathbf{k}.$$

Здесь $s = k \operatorname{th} kH$; $\mathbf{k} = (k_x, k_y)$; $k = |\mathbf{k}|$; $\theta = (\mathbf{k}\mathbf{x})$; φ^0 , φ_z^0 — значения φ и $\partial_z\varphi$ при $z = 0$.

Решение (1.1) будем искать в виде слабомодулированных волновых пакетов, фурье-образы которых отличны от нуля в ε -окрестности точек $\mathbf{k}_m = (mk_0, 0)$. Отсюда следует, что φ^0 , φ_z^0 могут быть представлены как

$$\begin{aligned} (\eta, \varphi^0, \varphi_z^0) &= \sum_{m=-\infty}^{\infty} (\eta_m, \varphi_m^0, \varphi_{z,m}^0) \exp i\theta_m, \\ (\eta_m, \varphi_m^0, \varphi_{z,m}^0) &= (\eta_{-m}^*, \varphi_{-m}^0, \varphi_{z,-m}^0). \end{aligned}$$

Функции $\eta_m, \varphi_m^0, \varphi_{z,m}^0$ зависят от X, Y, t . Из (1.3) имеем

(1.4)

$$\varphi_{z,m}^0 = \widehat{F}_m \varphi_m^0, \quad \widehat{F}_m = s_m - i \varepsilon s_{m,1} - (1/2) \varepsilon^2 (s_{m,11} \partial_{xx} + s_{m,22} \partial_{yy}) + O(\varepsilon^3),$$

$s_m, s_{m,1}, s_{m,11}, s_{m,22}$ — значения $s, \partial s / \partial k_x, \partial^2 s / \partial k_x^2, \partial^2 s / \partial k_y^2$ при $\mathbf{k} = \mathbf{k}_m$.

В уравнение (1.1) входят функции φ^s и φ_z^s , которые с использованием разложений φ и $\partial_z \varphi$ в ряды по степеням ε в окрестности $z = 0$ можно выразить через φ^0, φ_z^0 , после чего из (1.3), (1.4) получаем

$$(1.5) \quad (\varphi^s, \varphi_z^s) = \sum_{m=-\infty}^{\infty} (\varphi_m, \varphi_{z,m}) \exp(i\theta_m),$$

$$\begin{aligned} \varphi_{z,m} = \widehat{\Phi}_m(\varphi), \quad \widehat{\Phi}_m(\varphi) = \widehat{F}_m \varphi_m + \varepsilon \sum_{l=-\infty}^{\infty} (r_{ml} \eta_l \varphi_{m-l} + \\ + i \varepsilon (d_{ml} \eta_l \partial_X \varphi_{m-l} + g_{ml} \varphi_{m-l} \partial_X \eta_l)) + \varepsilon^2 \sum_{l,n=-\infty}^{\infty} f_{mln} \eta_l \eta_n \varphi_{m-l-n} + O(\varepsilon^3). \end{aligned}$$

Коэффициенты $r_{ml}, d_{ml}, g_{ml}, f_{mln}$ зависят от значений $k_0, s_m, s_{m,1}$.

Подставляя (1.5) в (1.1) и приравнивая коэффициенты при одинаковых гармониках, имеем с точностью до $O(\varepsilon^2)$ бесконечномерную систему уравнений

(1.6)

$$\begin{aligned} \partial_t \eta_m - \widehat{F}_m \varphi_m - \varepsilon \sum_{l=-\infty}^{\infty} (r_{ml}^1 \eta_l \varphi_{m-l} + i \varepsilon (d_{ml}^1 \eta_l \partial_X \varphi_{m-l} + g_{ml}^1 \varphi_{m-l} \partial_X \eta_l)) - \\ - \varepsilon^2 \sum_{l,n=-\infty}^{\infty} f_{mln}^1 \eta_l \eta_n \varphi_{m-l-n} = 0, \end{aligned}$$

$$\begin{aligned} \partial_t \varphi_m + (\widehat{L}_m^0 + \varepsilon \widehat{L}_m^1 + \varepsilon^2 \widehat{L}_m^2) \eta_m - \varepsilon \sum_{l=-\infty}^{\infty} (r_{ml}^2 \varphi_l \varphi_{m-l} + i \varepsilon d_{ml}^2 \varphi_l \partial_X \varphi_{m-l}) - \\ - \varepsilon^2 \sum_{l,n=-\infty}^{\infty} f_{mln}^2 \eta_n \varphi_l \varphi_{m-l-n} + p_m = 0. \end{aligned}$$

Операторы \widehat{L}_m^n определяются из соотношений

$$(\widehat{L} + 1) \eta = \sum_{m,n=-\infty}^{\infty} \varepsilon^n (\widehat{L}_m^n \eta_m) \exp i\theta_m.$$

Например,

$$\widehat{L}_m^0 = \widehat{L}(\mathbf{k}), \quad \widehat{L}(\mathbf{k}) = 1 - \sum_{\alpha,\beta} (\sigma_{\alpha\beta} - \mu_{\alpha\beta} \partial_t) k_\alpha k_\beta + D(k_x^2 + k_y^2)^2.$$

Коэффициенты $f_{mln}^i, r_{ml}^i, d_{ml}^i, g_{ml}^i$ также выражаются через комплекс $k_0, s_m, s_{m,1}$.

Если в начальный момент времени жидкость покоилась, то решение (1.6) должно удовлетворять начальным условиям

$$(1.7) \quad \varphi_m = \eta_m = 0, \quad t = 0.$$

2. Рассмотрим задачу о генерации волн периодическим полем внешнего давления, перемещающимся вдоль оси x со скоростью $c = \omega/k_0$. В этом случае $p_m = p'_m \exp(im\omega t)$, $p'_m = \text{const}$. Сделаем в (1.6) замену

$$\eta_m = \eta'_m(t) \exp(im\omega t), \quad \varphi_m = \varphi'_m(t) \exp(im\omega t)$$

и введем новые переменные

$$u_m = \frac{1}{\sqrt{2}} \left(\sqrt{\frac{L_m}{\omega_m}} \eta'_m + i \sqrt{\frac{\omega_m}{L_m}} \varphi'_m \right), \quad L_m = \widehat{L}(\mathbf{k}) e^{im\omega t}, \quad \omega_m^2 = L_m s_m.$$

При $\mu_{\alpha\beta} = 0$ система (1.6) с точностью до $O(\varepsilon)$ записывается в гамильтоновой форме

$$(2.1) \quad \partial_t u_m = -i\partial H / \partial u_m^*,$$

$$H = \sum_{m=-\infty}^{\infty} (\Delta_m u_m u_m^* + g_m (u_{-m} + u_m^*)) + \varepsilon \sum_{m,l=-\infty}^{\infty} [\alpha_{ml} (u_{-m} u_l u_{m-l} + u_{-m}^* u_l^* u_{m-l}^*) + \beta_{ml} (u_m u_l^* u_{m-l}^* + u_m^* u_l u_{m-l})],$$

$$\Delta_m = \omega_m - m\omega, \quad g_m = \sqrt{\omega_m / (2L_m)} p_m'.$$

Коэффициенты α_{mi} , β_{mi} определяются через комплекс k_0 , s_m , $s_{m,1}$ и ω_m .

Отметим, что кубически нелинейные члены в уравнениях (1.6), имеющие порядок $O(\varepsilon^2)$, не могут быть представлены в виде частных производных по u_m^* и u_m от гамильтониана H . Поэтому запись уравнений (1.6) в канонической форме (2.1) верна с точностью до членов порядка $O(\varepsilon)$. Канонические переменные u_m при $\hbar = 0$ совпадают с каноническими переменными уравнений движения жидкости со свободной поверхностью, найденными в [13].

В данной задаче возможны внутренние резонансы, условия наступления которых определяются соотношениями

$$(2.2) \quad \Delta_m = \Delta_n = 0, \quad m \neq n.$$

При внутреннем резонансе возбуждение m -й гармоники происходит в результате нелинейного взаимодействия n -й и $(m-n)$ -й гармоник. В жидкости со свободной границей условия (2.2) невыполнимы. Полагая $n = 1$ и разрешая (2.2) относительно k , находим

$$k_m = \frac{m\sigma_{xx} + \sqrt{m^2 \sigma_{xx}^2 + 4mD(m^2 + m + 1)}}{2mD(m^2 + m + 1)}.$$

В нулевом порядке по ε решение (2.1), удовлетворяющее (1.7), запишем в виде

$$(2.3) \quad u_m = ig_m (e^{-i\Delta_m t} - 1) / \Delta_m.$$

В резонансном случае $\Delta_m = O(\varepsilon)$ решение (2.3) имеет смысл при $t \leq 1$. При больших временах эволюции становятся существенны нелинейные эффекты, ограничивающие рост амплитуды m -й гармоники, за счет ее самовоздействия и перекачки энергии в другие гармоники.

При $\Delta_1 = O(\varepsilon)$, $\Delta_m = O(\varepsilon)$ решение (2.1) ищем в форме

$$u_j = u_j'(T) + \varepsilon u_j''(t) \quad (j = 1, m), \quad u_k = u_k''(t) + \varepsilon u_k'(T) \quad (k > 0),$$

$$u_k = u_k(t) \quad (k < 0), \quad T = \varepsilon t,$$

где $u_k''(t)$ в нулевом порядке по ε определяются формулами (2.3) и являются быстроосциллирующими частями возмущения жидкости, а $u_k'(T)$ находятся из уравнений (далее штрихи опускаются)

$$(2.4) \quad \partial_t u_k = -i\partial \tilde{H} / \partial u_k^*, \quad \tilde{H} = H_{m,1} + H_{m,2},$$

$$H_{m,1} = \sum_{k=1}^{\infty} \left(\Delta_k u_k u_k^* + \varepsilon \sum_{l=1}^{k-1} \beta_{kl} u_k^* u_l u_{k-l} \right) + \varepsilon \sum_{k=1}^{m+1} \sum_{l=1}^{k-1} \beta_{kl} u_k u_l^* u_{k-l}^* +$$

$$+ \varepsilon (\gamma_1 u_1^* + \gamma_m u_m^* + \gamma_1^* u_1 + \gamma_m^* u_m), \quad H_{m,2} = \varepsilon \sum_{k=m+2}^{\infty} \sum_{l=1}^{k-1} \beta_{kl} u_k u_l^* u_{k-l}^*,$$

$$\gamma_k = g_k / \varepsilon.$$

Система (2.4) имеет интеграл $\tilde{H} = \text{const}$. Фазовые кривые, лежащие на различных поверхностях уровня \tilde{H} , не могут пересекаться и переходить с одной поверхности на другую. Стационарным решениям (2.4) соот-

ветствуют экстремальные точки гамильтониана

$$(2.5) \quad \partial \tilde{H} / \partial u_k^* = 0, \quad k \in Z.$$

Состояние покоя при $\gamma_{1,m} \neq 0$ не является положением равновесия системы (2.4), и ему отвечает гиперповерхность $\tilde{H} = 0$. Выход на стационарный режим из начального состояния покоя возможен только в том случае, если гамильтониан имеет экстремумы на гиперповерхности $\tilde{H} = 0$.

Стационарные решения (2.4) находятся в виде ряда

$$(2.6) \quad u_k = \lim_{l \rightarrow \infty} S_{l,k}, \quad S_{l,k} = u_k^0 + \delta_1 u_k + \dots + \delta_l u_k.$$

Здесь u_k^0 — точное решение уравнений $\partial H_{m,1} / \partial u_k^* = 0$; $\delta_l u_k$ — решения линеаризованной относительно $\delta_l u_k$ системы (2.5), где значение $H_{m,1}$ берется в точке $u_k = S_{l-1,k} + \delta_l u_k$, а $H_{m,2}$ — в точке $u_k = S_{l-1,k}$. Критерием применимости данного метода является сходимость рядов (2.6).

Рассмотрим для примера случай $\Delta_1 = \varepsilon \Delta$, $\Delta = O(1)$, $\Delta_k = O(1)$. Из (2.5) следует, что u_1^0 — корень уравнения $\Delta u_1 + \beta_{21}^2 |u_1|^2 u_1 / \Delta_2 + \gamma_1 = 0$. При $\Delta = 0$ находим $|u_1| = \gamma^{1/3}$, $\gamma = |\Delta_2 \gamma_1 / \beta_{21}^2|$. При $\gamma \ll 1$ стационарное решение (2.4) получаем в виде ряда по степеням $\gamma^{1/3}$. Расчеты показывают, что $\tilde{H} \neq 0$ для этого решения. Поэтому выход на построенный стационарный режим из начального состояния покоя невозможен.

При $\Delta_{1,m} = O(\varepsilon)$ решение (2.4) имеет следующую структуру:

$$(2.7) \quad |u_k| = O(\varepsilon^{\nu_k}), \quad \nu_k = \min(k - m [k/m], m([k/m] + 1) - k) \quad (k > m), \quad \nu_k = \min(k - 1, m - k) \quad (1 < k < m, m > 0).$$

В частности, в отсутствие внутренних резонансов выполняется $|u_k| = O(\varepsilon^{k-1})$. При резонансе на 2-й гармонике ($m = 2$) имеем $|u_k| = O(\varepsilon^{k-2})$, $k \geq 2$.

Из (2.7) вытекает, что из (2.4) можно с точностью до $O(\varepsilon^2)$ исключить все члены, кроме резонансно взаимодействующих u_1 и u_m . При $m > 2$ в уравнениях взаимодействия u_1 и u_m будут присутствовать кубически нелинейные члены, имеющие порядок $O(\varepsilon^2)$. Отметим, что при выводе уравнений (2.1) из (2.4) кубические члены не учитывались.

3. Уравнения взаимодействия 1-й и m -й гармоник выводятся из (1.6) с использованием свойства (2.7). При $m > 2$ с точностью до $O(\varepsilon^2)$ получим

$$(3.1) \quad (i\tilde{D}_{1,j} + \varepsilon\tilde{D}_{2,j} + \tilde{\Delta}_j)\varphi_j = \varepsilon(\kappa_{j1}|\varphi_1|^2 + \kappa_{jm}|\varphi_m|^2 + \alpha_j\partial_T\varphi_0 + \beta_j\partial_X\varphi_0)\varphi_j + \delta_{3m}\nu_j F_j + \tilde{p}_j \quad (j = 1, m), \quad F_1 = \varphi_1^* \varphi_3, \quad F_3 = \varphi_1^3,$$

$$(\partial_{TT} - H\Delta)\varphi_0 = \tilde{D}_{0,1}|\varphi_1|^2 + \tilde{D}_{0,m}|\varphi_m|^2,$$

$$\tilde{D}_{1,j} = (1 + i\mu_j)\partial_T + \mathbf{V}_j \cdot \nabla,$$

$$\tilde{D}_{2,j} = W_{j,XX}\partial_{XX} + 2W_{j,XY}\partial_{XY} + W_{j,YY}\partial_{YY} - \frac{1}{2j\omega}\partial_{TT} - iU_j\partial_{XT},$$

$$\tilde{D}_{0,j} = (j^2 k_0^2 - s_j^2)\partial_T - 2k_0\omega^{-1}s_j\partial_X, \quad \mathbf{V}_j = \frac{1}{2\omega}\nabla_k(Ls)|_{\mathbf{k}=\mathbf{k}_j},$$

$$W_{j,\alpha\beta} = \frac{1}{4j\omega} \frac{\partial^2(Ls)}{\partial k_\alpha \partial k_\beta} \Big|_{\mathbf{k}=\mathbf{k}_j}, \quad U_j = -\mu_{xx}k_0(s_m + mk_0 s_{m,1})/\omega_s$$

$$\tilde{\Delta}_j = (j^2\omega^2 - \omega_j^2)/(2j\varepsilon\omega),$$

$$\tilde{p}_j = (\varepsilon\partial_T p_j - ij\omega p_j)/(2j\varepsilon\omega).$$

Уравнения взаимодействия 1-й и 2-й гармоник с точностью до $O(\varepsilon)$ имеют вид

$$(\tilde{D}_{1,j} - i\tilde{\Delta}_j)\varphi_j = T_j N_j - i\tilde{p}_j \quad (j = 1, 2),$$

$$(\partial_{TT} - H\Delta)\varphi_0 = \tilde{D}_{0,1}|\varphi_1|^2 + \tilde{D}_{0,2}|\varphi_2|^2,$$

$$N_1 = \varphi_1^* \varphi_2, \quad N_2 = \varphi_1^2.$$

Выражения для коэффициентов κ_{ij} , α_j , β_j , ν_j , T_j в силу их громоздкости не приводятся.

Если толщину пластины h устремить к нулю, то выполнение условий генерации высших гармоник невозможно. Уравнения (3.1) при этом переходят в систему уравнений Дэви — Стюартсона [8, 9]. При $\mu_{\alpha\beta} = \sigma_{\alpha\beta} = 0$, $H \rightarrow \infty$ уравнения (3.1) вырождаются в нелинейное уравнение Шредингера

$$(3.2) \quad i(\partial_T + \omega' \partial_X) \varphi_1 + (\varepsilon/2)(\omega'' \partial_{XX} + \omega' k_0^{-1} \partial_{YY}) \varphi_1 + \tilde{\Delta}_1 \varphi_1 = \varepsilon \kappa |\varphi_1|^2 \varphi_1 + \tilde{p}_1, \\ \kappa = k_0^4 (2 - 13Dk_0^4) / (\omega(1 - 14Dk_0^4)).$$

При $\tilde{p}_1 = \tilde{\Delta}_1 = 0$, $\kappa \omega'' < 0$ периодическое решение (3.2) неустойчиво, что приводит к распаду огибающей волны на отдельные солитоны. Солитонные решения (3.2) в одномерном случае запишем как

$$\varphi_1 = \psi(\zeta) \exp [i(rX + sT)], \quad \zeta = X - vT, \\ \psi = A \operatorname{ch}^{-1}(B\zeta), \quad v = \omega' + \varepsilon r \omega'',$$

$$A = \sqrt{-2R/(\varepsilon \kappa)}, \quad B = \sqrt{2R/(\varepsilon \omega'')}, \quad R = s + r\omega' + \varepsilon r^2 \omega''/2.$$

В случае совпадения скорости солитона огибающей с фазовой скоростью ω/k_0 волны, бегущей под ним, волновой пакет $\varphi = \varphi_1 \times \exp[i(\theta_1 - \omega t)]$ является солитоном с осциллирующей структурой. В нулевом порядке по ε данное условие выполняется при $\omega' = \omega/k_0$. Разрешая это соотношение относительно k_0 , находим $k_0 = (3D)^{-1/4}$.

4. Исследуем влияние малой вязкости пластины на развитие колебаний в бесконечно глубокой жидкости, возбуждаемых периодическим внешним давлением на ее поверхности. Рассматривается случай отсутствия внутренних резонансов, т. е.

$$\Delta_1 = \varepsilon(\Delta + i\mu) = O(\varepsilon), \quad \Delta_k = O(1), \quad k \neq 1 \quad (\mu = k_0^2 \mu_x / (2\varepsilon),$$

Δ — частотная расстройка). Из (3.2) находим, что этот процесс описывается уравнением

$$(4.1) \quad i\partial_T \varphi + (\Delta + i\mu)\varphi = \varepsilon \kappa |\varphi|^2 \varphi + p, \quad p \equiv \tilde{p}_1 = \text{const}, \quad \varphi \equiv \varphi_1,$$

которое при $\mu = 0$ имеет интеграл

$$H = -\Delta(\Phi^2 + \Psi^2) + \varepsilon \kappa (\Phi^2 + \Psi^2)^2/2 + 2p\Phi, \quad \varphi = \Phi + i\Psi.$$

Введем обозначение $E = \Phi^2 + \Psi^2$. Из (4.1) при $\mu = 0$ находим

$$\partial_T E = \sqrt{P_4(E)}, \quad P_4(E) = -H^2 + 2E(2p^2 - \Delta H) + \\ + E^2(\varepsilon \kappa H - \Delta^2) + \varepsilon \Delta \kappa E^3 - \varepsilon^2 \kappa^2 E^4/4.$$

Решение полученного уравнения $E = E(T)$ выражается через эллиптические функции. Постоянная H выбирается из начальных условий при $t = 0$. Отметим, что $P_4(E) \geq 0$ при $t = 0$. При больших E выполняется $P_4(E) < 0$. Поэтому у уравнения $P_4(E) = 0$ всегда имеется положительный корень. Движение при любых начальных условиях происходит в ограниченной области на фазовой плоскости (Φ, Ψ) . У уравнения (4.1) при $\mu \ll 1$ есть особые точки на плоскости (Φ, Ψ) , которые находятся из

$$(4.2) \quad \varepsilon \kappa \Phi^3 - \Delta \Phi + p = O(\mu^2), \quad \Psi = \mu \Phi / (\varepsilon \kappa \Phi^2 - \Delta).$$

При $D = 4\Delta^3/(27\varepsilon \kappa) - p^2 > 0$ первое уравнение (4.2) имеет три действительных корня, которые записываются в виде

$$\Phi_i = \frac{2}{\sqrt{3}} \sqrt{\frac{\Delta}{\varepsilon \kappa}} \sin(\chi + 2(i-1)\pi/3), \quad \chi = \arcsin\left(\frac{3\sqrt{3} p \sqrt{\varepsilon \kappa}}{\Delta \sqrt{\Delta}}\right), \quad i = 1-3.$$

При $D = 0$ есть два действительных корня, один из которых двукратный $\Phi_2 = \Phi_3 = \sqrt{\frac{\Delta}{3\varepsilon \kappa}}$, $\Phi_1 = -2\sqrt{\frac{\Delta}{3\varepsilon \kappa}}$, при $D < 0$ — только один действительный корень. Например, при точном резонансе $\Phi_1^0 = -(p/(\varepsilon \kappa))^{1/3}$,

$\Delta = 0$. Каждой особой точке отвечает стационарное решение (4.1). Точка Φ_1^0 при $\Delta = 0$ соответствует стационарному резонансному решению, полученному в п. 2 в виде ряда по степеням $\gamma^{1/3}$.

Исследуем устойчивость стационарных решений. Линеаризуя уравнение (4.1) в окрестности особых точек, с точностью до $O(\mu)$ находим

$$x_i = X^i x, \quad x = (x_1, x_2), \quad \Phi = \Phi_i + x_1, \quad \psi = \psi_i + x_2,$$

$$X_{jj}^i = \mu \left(\frac{2\varepsilon\kappa\Phi_i^2 (-1)^{i-1}}{2\varepsilon\kappa\Phi_i^2 - \Delta} - 1 \right), \quad X_{ik}^i = (-1)^k (\varepsilon\kappa (2 + (-1)^j) \Phi_i^2 - \Delta)$$

($j, k = 1, 2$).

Собственные числа матриц X^i равны

$$(4.3) \quad \lambda_i^\pm = -\mu \pm i\sqrt{(\varepsilon\kappa\Phi_i^2 - \Delta)(3\varepsilon\kappa\Phi_i^2 - \Delta)} + O(\mu^2).$$

Из (4.3) следует, что при $D < 0$ особая точка является устойчивым фокусом и отвечающее ей решение асимптотически устойчиво. При $D = 0$ одна особая точка есть устойчивый фокус, а другая — устойчивый узел. Оба стационарных решения в этом случае асимптотически устойчивы. При $0 < D < D_1$, где D_1 определяется из условия $\lambda_2^+ = 0$, появляется еще одна особая точка — устойчивый узел. Соответствующее ей решение асимптотически устойчиво. При $D > D_1$ имеются три особые точки: устойчивый фокус, устойчивый узел и седло. Решения, отвечающие фокусу и узлу, асимптотически устойчивы, а решение, соответствующее седлу, неустойчиво. Отметим, что при $\mu = 0$ особые точки $\Phi_{1,2}$ являются центрами и отвечающие им решения устойчивы по Ляпунову.

Существует волновое число $k = (2/(13D))^{1/4}$, при котором $\kappa = 0$, и решение (4.1), удовлетворяющее нулевым начальным условиям, примет вид $\varphi = \frac{p}{\Delta + i\mu} (e^{(i\Delta - \mu)t} - 1)$. При $t \rightarrow \infty$ данное решение выходит на стационарный режим $\varphi_s = -p/(\Delta + i\mu)$ и при малых Δ, μ имеет максимальную амплитуду.

5. В бесконечно глубокой жидкости под упругой пластиной взаимодействие 1-й и 2-й гармоник в одномерном случае при $\mu_{\alpha\beta} = \sigma_{\alpha\beta} = p_{1,2} = \Delta_{1,2} = 0$ описывается уравнениями

$$(5.1) \quad \begin{aligned} \partial_T \varphi_1 + \omega_1' \partial_X \varphi_1 &= k_2^2 \varphi_1^* \varphi_2, \\ \partial_T \varphi_2 + \omega_2' \partial_X \varphi_2 &= (1/2) k_2^2 \varphi_1^2, \quad k_2 = (14D)^{-1/4}. \end{aligned}$$

Уравнения (5.1) имеют интеграл

$$\int_{-\infty}^{\infty} (|\varphi_1|^2 + 2|\varphi_2|^2) dX = \text{const}, \quad \varphi_{1,2} \rightarrow 0, \quad |X| \rightarrow \infty,$$

из которого следует, что если в начальный момент времени вся энергия волн сосредоточена в 1-й гармонике, то с течением времени энергии гармоник станут сравнимы по величине. Процесс перекачки энергии между гармониками периодического характера описывается эллиптическими функциями [14].

Уравнения взаимодействия 1-й и m -й гармоник в одномерном случае при $\mu_{\alpha\beta} = \sigma_{\alpha\beta} = p_{1,m} = \Delta_{1,m} = 0$ выглядят следующим образом [15]:

$$(5.2) \quad \begin{aligned} i(\partial_T \varphi_j + \omega_j' \partial_X \varphi_j) + (1/2) \varepsilon \omega_j'' \partial_{XX} \varphi_j &= \varepsilon \tilde{N}_j, \\ \tilde{N}_j &= (\kappa_{j1} |\varphi_1|^2 + \kappa_{jm} |\varphi_m|^2) \varphi_j + \delta_{m3} v_j F_j, \\ j = 1, m, \quad v_1 &= -\frac{177}{390D}, \quad v_3 = -\frac{27}{65D}. \end{aligned}$$

Уравнения (5.2) при $m = 3$ имеют интеграл

$$(5.3) \quad \int_{-\infty}^{\infty} (|\varphi_1|^2 + (v_1/v_3)|\varphi_3|^2) dX = \text{const}, \quad \varphi_{1,3} \rightarrow 0, \quad |X| \rightarrow \infty.$$

При $m > 3$ из (5.2) вытекает

$$\int_{-\infty}^{\infty} |\varphi_j|^2 dX = \text{const}, \quad \varphi_j \rightarrow 0, \quad |X| \rightarrow \infty.$$

Из (5.3) следует, что взаимодействие 1-й и 3-й гармоник обладает свойством, похожим на взаимодействие 1-й и 2-й гармоник: если в начальный момент времени вся волновая энергия сосредоточена в 1-й гармонике, то с течением времени энергии 1-й и 3-й гармоник станут сравнимы по величине. Различие состоит в характерных временах процессов. При взаимодействии 1-й и 2-й гармоник характерное время перекачки энергии порядка $O(\varepsilon^{-1})$, при взаимодействии 1-й и 3-й гармоник — порядка $O(\varepsilon^{-2})$. В случае взаимодействия периодических волн (зависимость от X в (5.2) отсутствует) решение (5.2) выражается через эллиптические функции формулами

$$\begin{aligned} \varphi_j &= \sqrt{-v_j z_j} \exp(if_j) \quad (j = 1, 3), \quad z_1^2 + z_3^2 = C^2 = \text{const}, \\ P_3(z_1) + v_1 \sqrt{v_1 v_3 z_1^2 z_3} \cos \gamma &= 0, \quad \gamma = f_3 - 3f_1, \\ P_3(z_1) &= (2\kappa_{13}v_3 - 2\kappa_{11}v_1 + \kappa_{31}v_1 - \kappa_{33}v_3)z_1^3/3 + (\kappa_{33}v_3 - 2\kappa_{13}v_3)C^2 z_1 + \tilde{C}, \\ \tilde{C} &= \text{const}, \\ z_1' &= \sqrt{P_6(z_1)}, \quad f_j' = (\kappa_{j1}v_j z_1^2 + \kappa_{j3}v_3 z_3^2) + \\ &+ v_1 \sqrt{v_1 v_3} \cos \gamma z_1^j z_3^{2-j}, \quad P_6(z_1) = v_1^2 v_3 z_1^4 z_3^2 + P_3^2(z_1). \end{aligned}$$

Если $P_6(z_1)$ имеет двукратный корень $z_1 = 0$ и $\partial^2 P_6 / \partial z_1^2 > 0$ при $z_1 = 0$, а $P_6(z) > 0$ при $0 < z < z_1(0)$, то $z_1 \rightarrow 0$ при $t \rightarrow \infty$. Иными словами, с течением времени происходит полная передача энергии 3-й гармонике.

При резонансе на m -й ($m > 3$) гармонике перекачка энергии в данном приближении не происходит. Если в начальный момент времени m -я гармоника мала по сравнению с 1-й, то такой она и останется при временах эволюции $t = O(\varepsilon^{-2})$.

При резонансе на m -й ($m \geq 2$) гармонике нелинейные члены уравнений (1.1) при подстановках (1.5), ответственные за обмен энергией между гармониками (амплитудное взаимодействие), имеют порядок $O(\varepsilon^m)$. Члены, ответственные за нелинейное фазовое взаимодействие и самовоздействие гармоник, имеют порядок $O(\varepsilon^3)$. Фазовое взаимодействие и самовоздействие приводят к нелинейному сдвигу частот взаимодействующих волн $\Delta\omega_j = \varepsilon^2(\kappa_{j1}|\varphi_1|^2 + \kappa_{jm}|\varphi_m|^2)$ и сохранению их энергии. При $m = 3$ за процессы амплитудного и фазового взаимодействия в уравнениях (5.2) отвечают члены одинакового порядка малости. При $m > 3$ фазовое взаимодействие и самовоздействие преобладают.

ЛИТЕРАТУРА

1. Дорониц Ю. П., Хейсин Д. Е. Морской лед. — Л.: Гидрометеопздат, 1975.
2. Богородский В. В., Гаврило В. П., Недошивин О. А. Разрушение льда: методы, технические средства. — Л.: Гидрометеопздат, 1983.
3. Schulkes B. M. S. M., Sneyd A. D. Time-dependent response of floating ice to a steadily moving load // J. Fluid Mech. — 1988. — V. 186. — P. 25.
4. Megoldrick L. F. On Wilton's ripples: a special case of resonant interactions // J. Fluid Mech. — 1970. — V. 42, N 4.
5. Megoldrick L. F. An experiment on second-order capillary gravity resonant wave interactions // J. Fluid Mech. — 1970. — V. 40, N 2.
6. Megoldrick L. F. On the rippling of small waves: a harmonic nonlinear nearly resonant interaction // J. Fluid Mech. — 1972. — V. 52, N 4.
7. Djordjevic V. D., Redekopp L. G. On two-dimensional packets of capillary-gravity waves // J. Fluid Mech. — 1977. — V. 79, N 4.

8. Davey A., Stewartson K. On three-dimensional packets of surface waves // Proc. Roy. Soc. London A. — 1974. — V. 338. — P. 101.
9. Аблювиц М., Сигур К. Солитоны и метод обратной задачи. — М.: Мир, 1987.
10. Нестеров С. В. Возбуждение волн конечной амплитуды бегущей системой давлений // Изв. АН СССР. Физика атмосферы и океана. — 1986. — Т. 4, № 10.
11. Марченко А. В., Сибгатуллин Н. Р. О резонансном возбуждении длинных волн в двухслойной жидкости переменным давлением на свободной поверхности // Изв. АН СССР. МЖГ. — 1990. — № 2.
12. Юэн Г., Лэйк Б. Нелинейная динамика гравитационных волн на глубокой воде. — М.: Мир, 1987.
13. Захаров В. Е. Устойчивость периодических волн конечной амплитуды на поверхности глубокой жидкости // ПМТФ. — 1968. — № 2.
14. Марченко А. В., Сибгатуллин Н. Р. О резонансном взаимодействии волн в тяжелой жидкости, находящейся под упругой пластиной // Вестн. МГУ. Сер. 1. Математика, механика. — 1986. — № 4.
15. Ильичев А. Т., Марченко А. В. О распространении длинных нелинейных волн в тяжелой жидкости под ледяным покровом // Изв. АН СССР. МЖГ. — 1989. — № 1.

г. Владивосток

*Поступила 8/VIII 1989 г.,
в окончательном варианте — 25/I 1990 г.*

УДК 533.72 + 541.182

М. А. Гайдуков, В. А. Коструба, А. В. Терзян

ТЕРМОФОРЕТИЧЕСКОЕ ДВИЖЕНИЕ АНСАМБЛЯ УМЕРЕННО КРУПНЫХ АЭРОЗОЛЬНЫХ ЧАСТИЦ

Знание закономерностей поведения ансамбля аэрозольных частиц в неизотермическом газе позволяет совершенствовать эффективность многих технологических процессов (производство порошков, улавливание ценных и вредных отходов, содержащихся в атмосфере, и т. д.), а также может быть полезным при разработке методов активного воздействия на облака, как естественные, так и искусственные. Последнее важно, например, при применении аэрозольных веществ в сельском хозяйстве.

Решение задачи о термофорезе состоит в расчете относительного движения неоднородно нагретого газа и взвешенных в нем аэрозольных частиц. Гидродинамический метод расчета, предложенный в [1], содержит в качестве основного предположение о большой удаленности частиц друг от друга, когда каждая из них может фактически рассматриваться как одиночная, находящаяся в неограниченной газовой среде. В [2, 3] на основе данного метода развивается подход, позволяющий исследовать термофоретическое движение произвольной совокупности твердых аэрозольных частиц, расположенных достаточно близко, чтобы взаимодействовать гидродинамически. Под последним понимается взаимодействие, обусловленное тем, что движущаяся частица генерирует в среде поле скорости, влияющее на движение других частиц. В силу сделанных при математической постановке задачи предположений результаты [2, 3] применимы только для ансамбля, состоящего из одинаковых крупных ($K_n \leq 0,05$, $K_n = \lambda/R$, λ — длина свободного пробега молекул газа, R — радиус частиц) и умеренно теплопроводных частиц.

В настоящей работе подход, предложенный в [2, 3], обобщается на случай умеренно крупных и высокотеплопроводных частиц. На основе полученных для установившихся скоростей каждой частицы выражений с помощью ЭВМ рассчитывается поведение линейных ансамблей. Исследуется влияние полидисперсности на процесс укрупнения частиц.

Принимается: газовая среда вдали от частиц покоится, а ее температура является линейной функцией точки; частицы твердые, сферические (необязательно одного размера) распределены в пространстве случайным образом и имеют в начальный момент времени установившиеся скорости $u^{(k)}$ ($k = 1, 2, \dots, N$).

Задача состоит из двух частей. Во-первых, нужно найти поправку к скорости термофореза одиночной умеренно крупной аэрозольной частицы, зависящую от параметров $h_{\alpha k} = R_{\alpha}/l_{\alpha k}$ (R_{α} — радиус частицы с номером α , $l_{\alpha k}$ — расстояние между центрами соответствующих частиц), и, во-вторых, рассчитать траекторию частиц.

Оценки показывают [4], что в диапазоне практически реализуемых значений градиентов температур поля скорости, давления и температуры газовой среды (v , p , T_e) определяются квазистационарными уравнениями